

Работу выполнил
Просвирин Кирилл, 712гр.

24 октября 2017
31 октября 2017

Лабораторная работа № 1.2.4

Определение главных моментов инерции твердых тел с помощью крутильных колебаний

Цель работы: измерить периоды крутильных колебаний рамки при различных положениях закрепленного в ней тела, проверить теоретическую зависимость между периодами крутильных колебаний тела относительно различных осей, определить моменты инерции относительно нескольких осей для каждого тела, по ним найти главные моменты инерции тел и построить эллипсоид инерции.

В работе используется: установка для получения крутильных колебаний (жесткая рамка, имеющая винты для закрепления в ней твердых тел, подвешенная на натянутой вертикально проволоке), набор исследуемых твердых тел, секундомер.

1 Теория и метод измерений

Крутильный маятник представляет собой массивное тело, подвешенное на тонкой упругой струне. При повороте маятника из положения равновесия на некоторый угол φ на него со стороны нити действует «упругий момент»

$$M_{\text{упр}} = -f\varphi, \quad (1)$$

пропорциональный углу поворота φ . f — постоянная, характеризующая момент упругих сил.

Движение маятника описывается уравнением моментов:

$$I_M \ddot{\varphi} = I_M \frac{d^2 \varphi}{dt^2} = -f\varphi, \quad (2)$$

где момент инерции маятника I_M равен сумме момента инерции пустой рамки I_P и момента инерции исследуемого тела I :

$$I_M = I + I_P \quad (3)$$

Из (2) собственная частота колебаний:

$$\omega_0 = \sqrt{\frac{f}{I_M}} \quad (4)$$

Подставляя ω_0 из (4) находим период крутильных колебаний:

$$T = \frac{2\pi}{\omega_0} = 2\pi \sqrt{\frac{I + I_P}{f}} \quad (5)$$

На рис. 1 показано, как про ят оси вращения в параллелепипеде. Оси AA' , BB' , CC' являются главными. Моменты инерции относительно этих осей обозначим соответственно I_x , I_y , I_z .

Момент инерции I_d при вращении относительно диагонали DD' выражается через главные моменты следующим образом:

$$I_d = I_x \frac{a^2}{d^2} + I_y \frac{b^2}{d^2} + I_z \frac{c^2}{d^2}, \quad (6)$$

где длина диагонали $d = \sqrt{a^2 + b^2 + c^2}$. Отсюда получаем соотношение

$$(a^2 + b^2 + c^2)I_d = a^2I_x + b^2I_y + c^2I_z. \quad (7)$$

Рис. 1: Оси вращения прямоугольного параллелепипеда

Используя связь момента инерции с периодом крутильных колебаний (5), получаем соотношение между периодами колебаний

$$(a^2 + b^2 + c^2)T_d^2 = a^2T_x^2 + b^2T_y^2 + c^2T_z^2. \quad (8)$$

$$(b^2 + c^2)T_d^2 = b^2T_y^2 + c^2T_z^2. \quad (9)$$

$$(a^2 + c^2)T_d^2 = a^2T_x^2 + c^2T_z^2. \quad (10)$$

$$(a^2 + b^2)T_d^2 = a^2T_x^2 + b^2T_y^2. \quad (11)$$

2 Экспериментальная установка

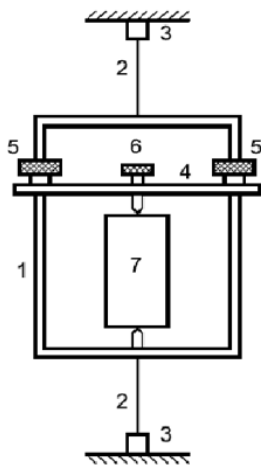


Рис. 2: Схема установки

Оборудование:

1. Рамка
2. Проволока
3. Зажимы для проволоки
4. Планка
5. Гайка
6. Винт
7. Твердое тело

Описание установки. Рамка 1 жестко соединена с проволокой 2, закрепленной вертикально в специальных зажимах 3, позволяющих сообщить начальное закручивание для возбуждения крутильных колебаний вокруг вертикальной оси. В рамке с помощью планки 4, гаек 5 и винта 6 закрепляется твердое тело 7.

3 Ход работы

1. Для пустой рамки и всех тел при различных их положениях относительно оси колебаний определим период колебаний по времени 10-15 колебаний, повторяя каждое измерение не менее 3 раз
2. Штангенциркулем измерим геометрические размеры параллелепипеда. Вычислим главные моменты инерции. По полученным ранее данным проверим справедливость формул.
3. Проведем аналогичные измерения для куба и убедимся в равенстве всех центральных моментов инерции.

4 Проведение измерений

1. С помощью штангенциркуля измерим размеры параллелепипеда и куба. После серий измерений длины стороны таковы

(а) Для параллелепипеда

$$a = 10,00 \pm 0,01 \text{ см}$$

$$b = 5,00 \pm 0,01 \text{ см}$$

$$c = 15,00 \pm 0,01 \text{ см}$$

(б) Для куба

$$a_{\text{к}} = 10 \pm 0,01 \text{ см}$$

2. Найдем период колебаний пустой рамки. Будем считать время 10 колебаний.

№	Период T_{10}, c	Амплитуда A, α	Изменение амплитуды $\Delta\alpha$
1	44,96	20°	1
2	44,86	30°	2
3	45,09	35°	4

Таблица 1: Период колебаний пустой рамки за $T = 10c$

Затухания незначительные ($\approx 12\%$).

3. Найдем погрешности периода колебаний $\sigma_{\text{сл}}$ и $\sigma_{\text{сист}}$ соответственно

$$\sigma_{\text{сл}} = \sqrt{\frac{1}{N(N-1)} \sum_{i=1}^N (x_i - \bar{x})^2} = \sqrt{\frac{D}{N-1}} = \sqrt{\frac{0,0012}{2}} = 0,024c.$$

$$\sigma_{\text{сист}} = 0,01c.$$

Находим полную погрешность измерения

$$\sigma_{T_{\text{рамки}}} = \sqrt{\sigma_{\text{сл}}^2 + \sigma_{\text{сист}}^2} = 0,027c.$$

Окончательно, период крутильных колебаний пустой рамки равен

$$T_{\text{рамки}} = (\bar{T} \pm \sigma_T) = (4,53 \pm 0,027)c.$$

4. Найдем период кручения вместе с рамкой для главных осей параллелепипеда и для побочных.

№	AA' T'_{10}	BB' T'_{10}	CC' T'_{10}	DD' T'_{10}	EE' T'_{10}	PP' T'_{10}	MM' T'_{10}
1	64,41	69,27	55,11	59,15	56,63	58,15	65,33
2	64,32	69,53	55,33	59,18	56,9	58,23	65,24
3	64,05	68,75	55,45	59,36	56,68	58,19	65,27

Таблица 2: Период крутильных колебаний для параллелепипеда

Окончательно, периоды крутильных колебаний параллелепипеда вместе с пустой рамкой равны

$$\begin{aligned}
T'_X &= (6,43 \pm 0,02)c. \\
T'_Y &= (6,95 \pm 0,02)c. \\
T'_Z &= (5,53 \pm 0,02)c. \\
T'_D &= (5,92 \pm 0,02)c. \\
T'_E &= (5,67 \pm 0,02)c. \\
T'_P &= (5,82 \pm 0,02)c. \\
T'_M &= (6,53 \pm 0,02)c.
\end{aligned}$$

5. Период крутильных колебаний для пустой рамки может быть найден как

$$T_P = 2\pi\sqrt{\frac{I_P}{f}}, \quad (12)$$

Тогда из (5) и (12) находим периоды колебаний для каждой оси

$$\begin{aligned}
T_X &= \sqrt{(T'_X)^2 - T_{\text{рамки}}^2} = \sqrt{6,43^2 - 4,53^2} = 4,59c. \\
T_Y &= \sqrt{(T'_Y)^2 - T_{\text{рамки}}^2} = \sqrt{6,95^2 - 4,53^2} = 5,30c. \\
T_Z &= \sqrt{(T'_Z)^2 - T_{\text{рамки}}^2} = \sqrt{5,53^2 - 4,53^2} = 3,21c. \\
T_D &= \sqrt{(T'_D)^2 - T_{\text{рамки}}^2} = \sqrt{5,92^2 - 4,53^2} = 3,85c. \\
T_E &= \sqrt{(T'_E)^2 - T_{\text{рамки}}^2} = \sqrt{5,67^2 - 4,53^2} = 3,45c. \\
T_P &= \sqrt{(T'_P)^2 - T_{\text{рамки}}^2} = \sqrt{5,82^2 - 4,53^2} = 3,69c. \\
T_M &= \sqrt{(T'_M)^2 - T_{\text{рамки}}^2} = \sqrt{6,53^2 - 4,53^2} = 4,73c.
\end{aligned}$$

Погрешность T будем считать по формуле погрешности косвенных измерений

$$\sigma_T = T\sqrt{\left(\frac{\sigma_{T'}}{T'}\right)^2 + \left(\frac{\sigma_{T_P}}{T_P}\right)^2}. \quad (13)$$

Окончательно, периоды крутильных колебаний параллелепипеда равны

$$T_X = (4,59 \pm 0,02)c. \quad (14)$$

$$T_Y = (5,30 \pm 0,02)c. \quad (15)$$

$$T_Z = (3,21 \pm 0,02)c. \quad (16)$$

$$T_D = (3,85 \pm 0,02)c. \quad (17)$$

$$T_E = (3,45 \pm 0,02)c. \quad (18)$$

$$T_P = (3,69 \pm 0,02)c. \quad (19)$$

$$T_M = (4,73 \pm 0,02)c \quad (20)$$

6. Нам нужно сравнить теоретическое и экспериментальное значения периодов. Найдем теоретически.

$$T_D = \sqrt{\frac{a^2 T_X^2 + b^2 T_Y^2 + c^2 T_Z^2}{a^2 + b^2 + c^2}} = \sqrt{\frac{2106,81 + 702,25 + 2318,42}{100 + 25 + 225}} \approx 3,83c$$

$$T_E = \sqrt{\frac{b^2 T_Y^2 + c^2 T_Z^2}{b^2 + c^2}} = \sqrt{\frac{702,25 + 2318,42}{25 + 225}} \approx 3,48c$$

$$T_P = \sqrt{\frac{a^2 T_X^2 + c^2 T_Z^2}{a^2 + c^2}} = \sqrt{\frac{2106,81 + 2318,42}{100 + 225}} \approx 3,69c$$

$$T_M = \sqrt{\frac{a^2 T_X^2 + b^2 T_Y^2}{a^2 + b^2}} = \sqrt{\frac{2106,81 + 702,25}{100 + 25}} \approx 4,74c$$

Видим, что эти значения лежат в области определения значений (17) — (20). Т.е. получили, что с учетом погрешностей экспериментально и теоретически полученные значения равны, а значит формулы (8) — (11) верны.

7. Проделаем тоже самое для куба и для диска.

	T'_{10}, c	T'_{10}, c	T'_{10}, c	\overline{T}_{10}, c	T, c
Главная ось	53,05	53,21	53,03	53,1	5,31
Через середины противоположных ребер	52,84	52,99	52,91	52,91	5,29
Главная диагональ	52,95	52,89	53,01	52,95	5,3

$$T_1 = 5,31 \pm 0,02c$$

$$T_2 = 5,29 \pm 0,02c$$

$$T_3 = 5,30 \pm 0,02c$$

Таблица 3: Период крутильных колебаний для куба

Как и ожидалось, периоды кручения куба (а значит и моменты инерции) будут одинаковыми для всех центральных осей.

	T'_{10}, c	T'_{10}, c	T'_{10}, c	\overline{T}_{10}, c	T, c
OX	59,66	59,60	1:00	59,75	5,98
OY	52,81	52,78	52,65	52,75	5,27

$$T_1 = 5,98 \pm 0,02c$$

$$T_3 = 5,27 \pm 0,02c$$

Таблица 4: Период крутильных колебаний для диска

8. Нарисуем сечения эллипсоида инерции главными плоскостями. Для этого необходимо вдоль выбранной оси, проходящей через центр эллипсоида, провести радиус-вектор \vec{r} до пересечения с поверхностью эллипсоида. Длина r будет определять момент инерции тела относительно оси:

$$I = \frac{1}{r^2} \Rightarrow r = \frac{1}{\sqrt{I}}. \quad (21)$$

Учитывая данный факт и то, что $T = 2\pi\sqrt{\frac{I}{f}}$ находим, что

$$r \propto \frac{1}{T} \quad (22)$$

Плоскость $(Oxy) : \begin{cases} r_X \propto \frac{1}{T} = 21,8 \pm 0,2 \\ r_X \propto \frac{1}{T} = 18,9 \pm 0,1 \end{cases}, \quad \text{где } \sigma_r = \left| \frac{\partial r}{\partial T} \right| \sigma_T$

Для остальных плоскостей находим аналогично:

$$r_Z \propto \frac{1}{T_Z} = 31,2 \pm 0,3$$

$$r_D \propto \frac{1}{T_D} = 26,0 \pm 0,3$$

$$r_E \propto \frac{1}{T_E} = 29,0 \pm 0,4$$

$$r_P \propto \frac{1}{T_P} = 27,1 \pm 0,3$$

$$r_M \propto \frac{1}{T_M} = 21,1 \pm 0,2$$

Построим сечения эллипсоида инерции главными плоскостями.

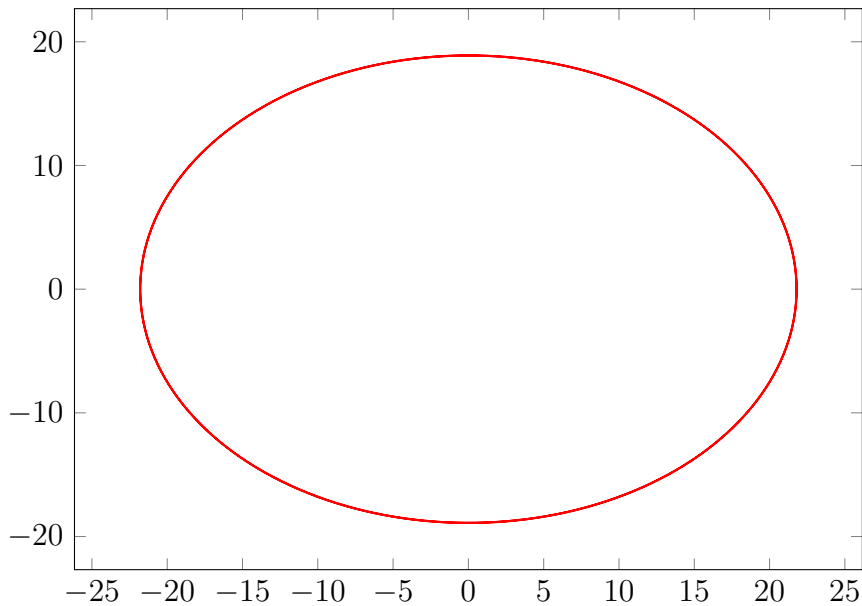


Рис. 3: Плоскость Oxy

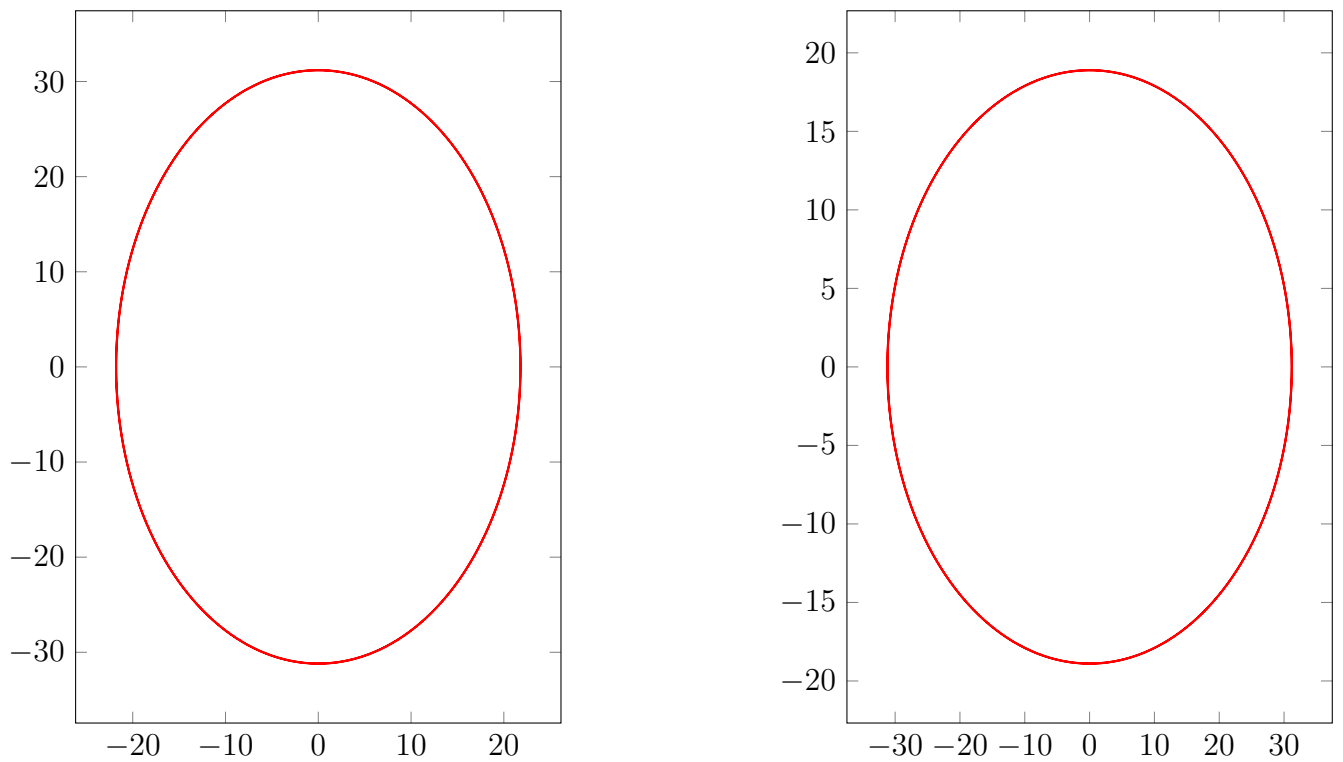


Рис. 4: Плоскости Oxz и Oyz

9. **Вывод.** Мы сравнили теоретические и экспериментальные значения периодов кручения тела. В пределах погрешностей они оказались равными, а значит формулы (8) — (11) оказались верны.

Периоды кручения куба относительно центральных осей оказались равными, а значит и их моменты инерции относительно центральных осей также равны.